

Allgemein

- Physiologischer Hintergrund:
 - o Zäpfchen: Licht (ca. 100 Mio.)
 - o Stäbchen: Farbe (rot, grün, blau) (ca. 6 Mio.)

Farbmodelle

- RGB:
 - o Rot, Grün und blau
 - o Additives & multiplikatives Verfahren
 - o wird verwendet in Monitoren
 - o 8-bit unsigned integer
- CMY
 - o Cyan, Magenta, Yellow
 - o Subtraktives Verfahren -> Farben werden zu weißem Hintergrund hinzugefügt
 - o verwendet in Druckern
 - o Erweiterung CMYK:
 - Graustufe wird hinzugefügt
 - $K = \min(C, M, Y) \rightarrow C' = C - K, \dots$
- HSV
 - o Hue (Farbton), Saturation (Sättigung), Value (Brightness)
 - o basiert auf RGB

Gamma

- CRT-Displays:
 - o lineares Wachstum bei Spannung != lineares Wachstum der Helligkeit
- zur Korrektur eingeführte Gamma-Berechnung
 - o $\gamma \sim 2,2 \rightarrow$ bei Bildschirm kommt x^γ an
 - o zur Korrektur: $x_{\text{out}} = x_{\text{in}}^{1/\gamma}$
- in modernen Displays immer noch Simulation von Gamma-Korrektur

Triangles and Pixels

- Dreiecke sind primitive Flächen \rightarrow alle möglichen Polygone können zu Dreiecken konvertiert werden
- Verfahren zum Speichern:
 - o sequenzielle Liste:
 - alle Vertices von jedem Dreieck in einer Liste speichern
 - $N * 3 * \text{sizeof}(\text{vertex})$ bytes
 - o Indexed Face Set (IFS):
 - jeder Punkt wird einfach gespeichert, für Dreiecke nur Indizes der Vertices
 - $N * 3 * \text{sizeof}(\text{unit}) + N_{\text{vertices}} * \text{sizeof}(\text{vertex})$ bytes

Rasterisierung

- Single-Sample-Rasterisierung:
 - o Mittelpunkt des Pixels muss in Dreieck liegen
 - Strecken berechnen & normieren $d_{ab} = \frac{b-a}{\|b-a\|}$
 - Normalen von Strecken berechnen & ggf. normieren $n(d) = \begin{pmatrix} -d_y \\ d_x \end{pmatrix}$
 - Punkt in Relation zu Strecke setzen $p - a$
 - Skalarprodukt ausrechnen $\langle n(d) | p - a \rangle$
 - positiv: Punkt in Dreieck
 - negativ: Punkt nicht im Dreieck

- Signed-Distance Rasterisierung Convexe Polygone
 - o Bounding Box um Dreieck → nur Pixel prüfen, die in Frage kommen können
 - o Winding Order: CCW (Counter Clock Wise)
 - o Hierarchisch: Divide & Conquer → Unterteilung der Bounding Box in immer kleinere Vierecke
 - wenn Eckpunkte alle innerhalb: accept
 - wenn keine Kante Dreieck schneidet: reject
- Scanline Concarve Polygone
 - o für jeden Höhenwert wird ein Pixel auf jeder Linie gewählt
 - o danach wird links nach rechts zwischen gewählten Pixeln aufgefüllt
 - EdgeTable (ET) aufstellen → Sortierung nach Y_{lower}
 - Inhalt: $Y_{lower}, X_{lower}, Y_{upper}, m$
 - AET: immer 2 Kanten raussuchen, bis Y_{upper} erreicht wird, immer eine Stufe höher gehen & Punkte markieren / rausschreiben

Interpolation

- Lineare Interpolation bzw. lerp:
 - o $p_z = (1 - t) * a_z + t * b_z = a_z + t * (b_z - a_z)$
 - o $t_{AC}(P) = \frac{P_y - A_y}{C_y - A_y} \rightarrow P \text{ liegt in diesem Fall auf } \overrightarrow{AC}$
- Baryzentrische Koordinaten:
 - o Interpoliert von den verschiedenen Eckpunkten, z.B. für Farbuweibungen
 - o $u = b - a; v = c - a; p = a + \begin{pmatrix} u_x & v_x \\ u_y & v_y \end{pmatrix} * \begin{pmatrix} \beta \\ \gamma \end{pmatrix}$
 - o $p = a + \beta * (b - a) + \gamma * (c - a)$

Transformationen

- Affine:
 - o Lines werden zu Lines, Parallelität bleibt bestehen, Größenverhältnisse bleiben gleich
 - o dazu zählen Verschiebung, Skalierung, Scherung und Drehung

$$A = \begin{pmatrix} 1 & 0 & 0 \\ 0 & 1 & 0 \\ 0 & 0 & 1 \end{pmatrix}, t = \begin{pmatrix} t_x \\ t_y \\ t_z \end{pmatrix}.$$

Verschiebung

$$A = \begin{pmatrix} s_x & 0 & 0 \\ 0 & s_y & 0 \\ 0 & 0 & s_z \end{pmatrix}, t = 0.$$

Skalierung

$$A = \begin{pmatrix} 1 & 0 & d_x \\ 0 & 1 & d_y \\ 0 & 0 & 1 \end{pmatrix}, t = 0.$$

Scherung

$$A = \begin{pmatrix} 1 & 0 & 0 \\ 0 & \cos \phi & -\sin \phi \\ 0 & \sin \phi & \cos \phi \end{pmatrix}, t = 0.$$

X-Rotation

$$A = \begin{pmatrix} \cos \phi & 0 & \sin \phi \\ 0 & 1 & 0 \\ -\sin \phi & 0 & \cos \phi \end{pmatrix}, t = 0.$$

Y-Rotation

$$A = \begin{pmatrix} \cos \phi & -\sin \phi & 0 \\ \sin \phi & \cos \phi & 0 \\ 0 & 0 & 1 \end{pmatrix}, t = 0.$$

Z-Rotation

- Transformationen können kombiniert werden $T_2(T_1(x)) = A_2(A_1 * x + t_1) + t_2$
- Homogene Koordinaten:
 - o Translationsmatrix wird um eine Koordinate erweitert:
 - homogenisieren: $\begin{pmatrix} A_{11} & A_{12} \\ A_{21} & A_{22} \end{pmatrix} x + \begin{pmatrix} t_1 \\ t_2 \end{pmatrix} = \begin{pmatrix} A_{11} & A_{12} & t_1 \\ A_{21} & A_{22} & t_2 \\ 0 & 0 & 1 \end{pmatrix} x = \begin{pmatrix} x \\ y \\ w \end{pmatrix}$
 - dehomogenisieren: $H \begin{pmatrix} x \\ y \\ w \end{pmatrix} = \begin{pmatrix} \frac{x}{w} \\ \frac{y}{w} \\ 1 \end{pmatrix}$
 - o Kombination durch einfache Multiplikation der Matrizen (von hinten)
 - z.B. $C = T * S \rightarrow$ Skalierung **vor** Translation, deshalb $T * S$ und nicht $S * T$
- Normalen müssen renormalisiert werden
 - o zum renormalisieren werden Normalen mit der Inversen der Transformationsmatrix transformiert
 - o $n' = (A^{-1})^T * n$

- Rotationen:
 - o immer gleiches Schema:
 - Drehachse bleibt gleich
 - bei den anderen: $\begin{matrix} \cos & -\sin \\ \sin & \cos \end{matrix} \rightarrow$ bei y als Achse wird – vertauscht
 - o Euler-Winkel:
 - **Jede Rotation kann durch 3 Rotation um die Hauptachsen (X, Y, Z) erreicht werden**
 - willkürlich kombinierte Rotation um die 3 Achsen, z.B. um Z, Y und Z
 - Vorteile: Einfache Implementierung, Einfach zu benutzen, nur 3 Winkel nötig
 - Nachteile: Animationen nicht einfach, Gimbal Lock
 - Gimbal Lock:
 - Bei Rotation um 90° wird eine Achse unbrauchbar
 - anschließend sind 2 Ursprungsachsen übereinander
 - o Quaternionen:
 - 2D: $\cos \varphi + i * \sin \varphi$
 - Quaternion Punkt: $\hat{p} = (p_v, 1)$
 - Quaternion Winkel: $\hat{q} = (u_q * \sin \frac{\varphi}{2}, \cos \frac{\varphi}{2})$ mit u_q als Rotationsachse
 - Conjugate Quaternion: $\hat{q}^* = (-q_v, q_w)$
 - Multiplikation: $\hat{p}\hat{q} = (p_v \times q_v + p_v q_w + p_w q_v, p_w q_w - \langle p_v | q_v \rangle)$

Koordinatensysteme

- „World“ Koordinatensystem (globales) wird definiert, anschließend alle Objekte anhand von Transformationen (Plazierung, Orientierung, Skalierung) in der Welt positioniert
 - o Lokales auf globales Koordinatensystem setzen, dann rotieren, skalieren und an geeignete Position schieben
 - Multiplikation des Punkts mit jeweiligen Matrizen
- alle Transformationen, die gebraucht werden, um lokales System auf globales zu übertragen, werden in Matrix M zusammengefasst
 - o durch Multiplikation von Punkt p mit M kann **lokaler Punkt in globales** System übertragen werden
 - o durch Multiplikation von Punkt q mit M^{-1} kann **globaler Punkt in lokales** System übertragen werden
 - o zur Invertierung einer starren Transformation: $(M_t M_r)^{-1} * q = M_r^T M_{(-t)} * q$
 - transponierte Rotationsmatrix * invertierter Translationsteil * Punkt im globalen System

Viewing

- Virtueller Beobachter = Kamera hat neues Koordinatensystem
- Objekte werden von World in Eyespace übertragen \rightarrow Projektion der Punkte auf 2D-Fläche
 - o Right-handed Koordinatensystem
- **Eye Space**
 - o Matrix E ist Kombination aus Translation T und Rotation R: $E = T * R$
 - Punkt wird zuerst um Ursprung gedreht, dann verschoben
 - o Viewing Direction g und Up-Vector t für Rotation
 - $w = \frac{-g}{\|g\|}, u = \frac{t \times w}{\|t \times w\|}, v = w \times u$
- **normalized device coordinates (NDC)**
 - o Maximale Abmessungen werden auf Koordinaten angewandt und auf [-1, 1] Intervall gemapped (für HW)
 - o Tiefe wird mit einberechnet, dafür gibt es Abmessungen n und f
 - o Projektionsmatrix berechnet NDC-Koordinaten für Punkt
- **Viewport Coordinates**
 - o Viewport-Größe wird in w und h angegeben, NDC-Koordinaten werden damit verrechnet & so an Viewport angepasst
 - o Matrix W zur Berechnung der viewport-Koordinaten

$$R = \begin{pmatrix} u_x & v_x & w_x & 0 \\ u_y & v_y & w_y & 0 \\ u_z & v_z & w_z & 0 \\ 0 & 0 & 0 & 1 \end{pmatrix}, T = \begin{pmatrix} 1 & 0 & 0 & o_x \\ 0 & 1 & 0 & o_y \\ 0 & 0 & 1 & o_z \\ 0 & 0 & 0 & 1 \end{pmatrix}$$

- orthographische Projektion

- keine Skalierung der Objekte
- Projektionsmatrix hat „leeren“ homogenen Teil, also nur Einberechnung der Translation

- perspektivische Projektion

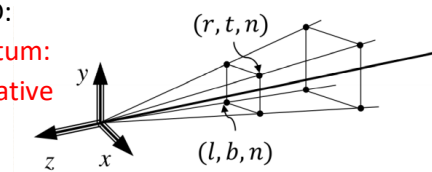
- Skalierung auf n abhängig von Abstand zur Kamera
- **Foreshortening: Dinge werden in der Distanz kleiner**
- Projektionsmatrix 2D:
 - homogener Anteil nicht mehr 0 0 1, sondern Einberechnung y-Wert für Entfernung
 - Translationsteil: y-Koordinate wird mit -1 einberechnet, damit Entfernung nicht verloren geht

$$H(\mathbf{P} \mathbf{v}) = H \left(\begin{pmatrix} a_{00} & a_{10} & t_x \\ a_{01} & a_{11} & t_y \\ w_x & w_y & w_t \end{pmatrix} \begin{pmatrix} v_x \\ v_y \\ 1 \end{pmatrix} \right) \quad \mathbf{P} = \begin{pmatrix} 1 & 0 & 0 \\ 0 & 1 & -1 \\ 0 & 1 & 0 \end{pmatrix}$$

○ Projektionsmatrix 3D:

▪ The Viewing Frustum:

- **z geht ins Negative**



- Einberechnung von z-Anteil, Berechnung durch Abmaße Höhe h und Weite w
 - near distance n, aspect ratio a, field of view θ
 - $w = a * n * \tan \frac{\theta}{2} = r = l$
 - $h = n * \tan \frac{\theta}{2} = b = t$
 - $a = \frac{w}{h}$
- Berechnung von z' zum Bestimmen, welche Objekte gezeichnet werden sollen
 - z' bezeichnet Koordinate z im NDC
 - $z' = -\frac{n+f}{n-f} - \frac{2*f*n}{z*(n-f)}$
 - wenn $z' < -1$ oder $z' > 1$, dann ist das Objekt außerhalb der Sicht
 - near plane liegt bei $z' = -1$, far plane liegt bei $z' = 1$

Clipping

- nur sichtbare Triangles sollen gerendert werden
- muss im Eye Space mit Grenzen gemacht werden, da sich sonst die Geometrie verändert
- in NDC wäre Clipping einfacher, aber Geometrie verändert sich, wenn $z > 0$ ist
- Ordnung von Triangles:
 - Depth Buffer:
 - speichert den NDC-Z-Wert für jeden Pixel
 - wenn neuer Z-Wert niedriger ist als gespeicherter Z-Wert wird Pixel überschrieben, sonst nicht

$$\{\Delta_{local}\} \xrightarrow{M} \{\Delta_{world}\} \xrightarrow{V} \{\Delta_{eye}\} \xrightarrow{P} \{\Delta_{clip}\} \xrightarrow{\text{dehomo-}} \{\Delta_{NDC}\} \xrightarrow{W} \{\Delta_{viewport}\} \xrightarrow{\text{rasterization}} \llbracket \square \rrbracket$$

OpenGL

- Idee: IFS auf GPU Speichern, Rendering für komplettes Modell auf einmal starten
- Vertex und Index Buffers werden angesprochen
 - o Buffer auf RAM wird erstellt durch `glGenBuffer(size, *buffer)`
 - o Binden des Buffers an GPU Buffer `glBindBuffer(target, buffer)`
 - Bindung muss am Ende wieder aufgelöst werden
 - target: für Vertices `GL_ARRAY_BUFFER`, für Indizes `GL_ELEMENT_ARRAY_BUFFER`
 - o Daten von Buffer auf GPU laden `glBufferData(target, size, *data, flags)`
- **Alternativ:** Benutzen von Vertex Array Objects, die alle bindings und attribute links beinhalten
 - o Erstellen durch `glGenVertexArrays(size, *vaos)`
 - o Binden des Vertex Array Objects `glBindVertexArray(array)`
- Vorbereitung zum Rendern
 - o Vertex Stream aktivieren `glEnableVertexAttribArray(index)`
 - Vertex Stream: Buffer wird an GPU Stream Input angebunden
 - o Vertex Stream spezifizieren `glVertexAttribPointer(index, size, type, normalized, stride, *data)`
 - `GL_ARRAY_BUFFER` gibt die jeweiligen Vertices an den Shader
- Starten vom Rendering
 - o Rendern mithilfe von Vertices `glDrawArrays(mode, first, count)`
 - o Rendern mithilfe von Indizes & Vertices `glDrawElements(mode, count, type, *indices)`
 - `*indices` wird auf 0 gesetzt, dadurch wird `GL_ELEMENT_ARRAY_BUFFER` benutzt
 - o Typen für beide Methoden: `GL_TRIANGLES`, `GL_QUADS...`

Shaders

- Vertex Shader
 - o läuft für jeden einzelnen Vertex
 - o transformiert Punkt durch Renderpipeline bis zum Clip Space
- Fragment Shader
 - o zuständig für die Einfärbung von Pixeln
 - o Signed Distance Verfahren läuft im Fragment Shader
 - o außerdem Berechnung der Farbe
- Shader werden in eigenen Files geschrieben, aber müssen in OpenGL erstellt werden
 - o Erstellung `glCreateProgram()`
 - o Shader Stage zuweisen `glCreateShader(shader_type)`
 - `shader_type` kann `GL_VERTEX_SHADER`, `GL_FRAGMENT_SHADER...` sein
 - o Kompilierung des Shaders: Zuweisung `glShaderSource(shader, count, **string, *length)`
 - o Kompilierung `glCompileShader(shader)`
 - o Error-Check `glGetShaderiv(shader, param_name, *values)`
 - o Shader zu Programm zuweisen `glAttachShader(program, shader)`
 - o Programm danach linken `glLinkProgram(program)`
 - o Resultat checken `glGetProgramiv(program, param_name, *values)`
 - o Programm benutzen `glUseProgram(program)`

OpenGL Shading Language (GLSL)

- die `main()`-Funktion wird jedes Mal, wenn der Shader aufgerufen wird, ausgeführt
- Versionspezifizierung `#version 130`
- Spezifiziert über Main-Funktion
 - o Input **in** `vec4 local_vertex`
 - o Output **out** `vec4 out_color`
 - o Daten, die unabhängig vom Punkt sind **uniform** `mat4 proj`
- main-Funktion `void main () {...}`
- implizite output-Variable für Punkt `gl_Position`

Lighting

- Physikalische Licht – Flächen Interaktionen:
 - Absorption Licht wird absorbiert
 - Transmission Licht wird weitergeleitet
 - Reflektion Licht wird reflektiert
 - Refraction Licht wird gebrochen
 - Scattering ungleichmäßige Reflektion
- lokale Beleuchtung
 - Licht wird nur von einem Punkt aus betrachtet
 - der Rest der Szene ist irrelevant
 - kein indirektes Licht
- globale Beleuchtung
 - Lichtaustausch zwischen Objekten & Lichtquellen
 - Schatten (soft Shadows)
 - Licht kann wandern & von Objekten reflektiert werden → indirektes Licht
- **Phong Lighting**
 - nutzt zum Berechnen der Beleuchtung die Richtung der Lichtquelle, die Richtung der Kamera und die Normale des aktuellen Fragments
 - die Kamera- und Lichtrichtung sind im Voraus bekannt
 - Lichttypen:
 - Directional light source unendlich weit entfernte und große Lichtquelle
 - parallele Lichtstrahlen
 - Lichtrichtung l ist konstant
 - Point light source Lichtquelle ist Punkt im Raum
 - Licht wird von Punkt p aus in alle Richtungen gestrahlt
 - Lichtrichtung l von Punkt x aus: $l = \frac{p-x}{\|p-x\|}$
 - Die Distanz zum Licht bestimmt die Intensität
 - Spot light source
 - Variante des Punktlichts
 - Kegel um Licht → Öffnungswinkel und Richtung sind Parameter
 - Licht wird durch den Kegel begrenzt
 - Lichtintensität wird am Äußeren des Kegels niedriger
 - Komponenten der Reflektion **Phong Reflection**
 - Ambient light
 - Aufleuchtung durch Umgebung, keine Spotlights
 - $L_{amb} = k_{amb} * i_{amb}$
 - k_{amb} gibt an, wie ein Objekt indirekt aufgehellt wird (Farbe)
 - i_{amb} gibt an, wie viel indirektes Licht vorhanden ist (Intensität)
 - Diffuse reflection
 - Reflektion von matten Oberflächen
 - **Lambert's cosine law: Die Intensität der Reflektion ist abhängig vom Eintreffwinkel der Lichtquelle**
 - $L_{diff} = k_{diff} * i_{in} * \cos \theta = k_{diff} * i_{in} * \langle n|l \rangle^+$
 - θ = Eintreffwinkel des Lichts zur Normalen l = Lichtrichtung
 - wenn $\langle n|l \rangle$ negativ / kleiner 0 ist, wird Fragment nicht vom Licht bestrahlt
 - Specular reflection
 - Reflektion von glänzenden Oberflächen
 - Licht wird kegelförmig reflektiert, da sonst nichts sichtbar wäre (Lichtquelle ist nur ein Punkt)
 - Intensität wird kleiner, je weiter man sich von der Hauptrichtung der Reflektion entfernt
 - $L_{spec} = k_{spec} * i_{in} * \cos^{n_s} \phi$ $\cos \phi = \langle r|v \rangle$ $r = 2 * n * \langle n|l \rangle - l$
 - n_s = **Shinyness exponent** bestimmt, wie stark die Reflektion ist
 - hoch: glänzender, niedrig: eher diffus, $n_s \rightarrow \infty$: Reflektion kleiner, aber nicht heller
 - gesammelte Formel:
 - bei N Lichtquellen: $L = k_{amb} i_{amb} + \sum_{i=1}^N i_{in,i} (k_{diff} * \langle n|l_i \rangle^+ + k_{spec} * (\langle v|r_i \rangle^+)^{n_{s,i}})$

Shading

- Flat Shading
 - o Jede Fläche hat eine konstante Normale
 - o Die Beleuchtung ist abhängig von der Normalen
 - o Eine Farbe / Fläche
- Gouraud Shading
 - o An Punkten vom Polygon wird Beleuchtung berechnet
 - o durch Interpolation der Punkte wird die komplette Fläche berechnet
- Phong Shading (!= Phong Lighting)
 - o Vertex-Punkte und Normalen werden interpoliert
 - o Für jedes Fragment wird die Beleuchtung einzeln berechnet

Texturen

- Texturatlas:
 - o viele Texturen für zusammenhängende Flächen (z.B. Charakter) werden in einer Textur zusammengefasst
 - o Mapping der Dreiecke des Modells auf den Texturatlas
 - o erstellt durch Designer, **Texture Painting** auf 3D-Modell, danach kann Textur „aufgeklappt“ werden
 - o Textur Wrapping:
 - Für Texturen, die außerhalb des definierten Bereichs sind, werden verschiedene Modes aktiviert
 - So wird die Textur z.B. wiederholt, gestreckt, gespiegelt etc.
- Texture Sampling:
 - o Verfahren:
 - Simple Solution
 - Pixel nimmt die Farbe des Texels der am nächsten da ist (Mode: GL_NEAREST)
 - Problem: detaillierte Texturen werden stufig / pixelig
 - Bilinear interpolation
 - Durch Interpolation werden die 4 umliegenden Pixel einberechnet
 - o Probleme:
 - Magnification Problem: niedrig aufgelöste Textur, kleine Pixel -> scharfe Kanten gehen verloren
 - Minification-Problem: hoch aufgelöste Textur, weite Entfernung (Pixel größer als Texel)
 - Textur geht verloren
 - o Mip Mapping:
 - Texturen werden im Voraus herunterskaliert → meist schrittweise in 2 x 2 zu 1 x 1 Schritten
 - Je nach Pixelgröße wird entsprechendes Texturlevel zum Einfärben benutzt
 - Level Selection: $L = \log_2 p + L_{bias}$
 - p = ratio projected pixel to texel size
 - L_{bias} wird festgelegt, entweder mehr aliasing oder stärkere Verunschärfung
 - Problem:
 - o Niedrig aufgelöste Texturen können verwischen
 - o Dadurch entsteht ein „harter“ und erkennbarer Übergang
 - Level-Selection verfeinern durch Trilineare Interpolation zwischen $[L]$ und $[L]$
 - jeweilige lineare Interpolation der Farbe im oberen & unteren Level
 - lineare Interpolation zwischen den beiden Farbwerten
- GL Befehle bis hier:

o Textur abrufen	<code>vec4 texture(sampler, tex_coord)</code>
o Texturvariable	<code>uniform sampler2D diffuse_texture</code>
o Texturkoordinaten	<code>in vec2 tc</code>
o Farbwerte	<code>vec3 k_diff = texture(diffuse_texture, tc)</code>
▪ Farbwerte speichern	<code>texture(...).rgb</code>
o Texture wrapping	<code>glTexParameteri(target, pname, param)</code>
▪ Modes:	<code>GL_REPEAT, GL_MIRRORED_REPEAT, GL_CLAMP_TO_EDGE, ...</code>
▪ Sampling Verfahren:	<code>GL_NEAREST & GL_LINEAR</code>

- Perspektive:
 - Interpolation im NDC != Interpolation im Eye Space
- Texturarten:
 - **Diffuse:** Details und Farben für die Geometrie
 - **Specular:** Glanz & Mattierung für die Textur
 - **Mask:** Gibt vor, welcher Teil der Textur benutzt wird

Verschiedene zusätzliche Texturen:

- Normal Maps zum Speichern der Normalen
 - Object Space
 - Normalen werden auf dem Objekt für jedes Fragment festgelegt
 - Berechnung: $\text{vec3 } n = \text{vec3}(2) * x - \text{vec3}(1)$
 - x sind „Farbwerte“, die aus der Textur gelesen wurden mittels `texture(...).rgb`
 - Tangent Space (viel besser)
 - Basis: TBN-Matrix (Achsenbezeichnung)
 - Nicht nur Normale, sondern auch Tangentiale Achsen werden in der Textur abgelegt
 - Berechnung der T- und B-Achsen durch die Differenzen des Dreiecks in u- und v-Richtung
 - $\begin{pmatrix} e_{1,x} & e_{1,y} & e_{1,z} \\ e_{2,x} & e_{2,y} & e_{2,z} \end{pmatrix} = \begin{pmatrix} u_1 & v_1 \\ u_2 & v_2 \end{pmatrix} * \begin{pmatrix} T_x & T_y & T_z \\ B_x & B_y & B_z \end{pmatrix}$
 - e sind Strecken b-a bzw. c-a, u (T-Achse) und v (B-Achse) die zugehörigen Differenzen
 - Normale n wird aus Tangent-Space genommen, damit wird die Beleuchtung berechnet
 - Probleme:
 - Mip-Mapping funktioniert nicht gut
 - Normalen können sich zwischen 2 Texeln stark unterscheiden, Mittelwert hat andere Länge & Richtung
- Bump Maps
 - Höhe der einzelnen Texel wird gespeichert
 - „Normalhöhe“ ist bei ½
 - Wird meistens zu Normal Maps konvertiert
- Environment Maps
 - Skybox
 - Cube Maps
 - hat verschiedene Texturen für verschiedene primäre Richtungen
 - GL: `texture(samplerCube...)`
 - Longitude / Latitude Maps
 - für kompletten Himmel
 - von Richtung d aus kann durch folgende Formeln die Texturkoordinate berechnet werden:
 - $u = \frac{1}{2} + \frac{\tan^{-1}(d_z, d_x)}{2\pi}$
 - $v = \frac{1}{2} + \frac{\sin^{-1} d_y}{\pi}$
 - Billboards
 - Hintergrundobjekte, die nicht viel Beachtung bekommen
 - durch Mask-Textures kann einfach viel Hintergrund dargestellt werden
 - oft bei Gras der Fall

Shadow Mapping

- globaler Effekt → Objekte die Schatten werfen sind in der lokalen Beleuchtung nicht verfügbar
- Idee: Bild aus Sicht der Lichtquelle rendern
- Render-to-Texture:
 - Framebuffer wird erstellt `glGenFramebuffers(size, *buffer)`
 - Framebuffer wird gebunden `glBindFramebuffer(GL_FRAMEBUFFER, framebuffer)`
 - Texturen anhängen
`glFramebufferTexture2D(target, attachment, textarget, texture, level)`
 - attachments:
 - color `GL_COLOR_ATTACHMENT0`
 - depth buffer texture `GL_DEPTH_ATTACHMENT`
 - textarget `GL_TEXTURE_2D`
 - im Framebuffer:
 - Viewport setzen `glViewport(x, y, width, height)`
 - Output bestimmen `glDrawBuffers(size, *bufs)`
- Rendern der Shadow Map
 - Zusätzlich zu shading point, camera point und light direction wird die kürzeste Distanz zum Licht gespeichert
 - zweifaches rendern zum Bestimmen der kürzesten Distanz
 - zum Rendern: `glTexParameteri(GL_TEXTURE_2D, GL_TEXTURE_MAG_FILTER, GL_LINEAR)`
- Berechnung:
 - Berechnung der NDCs für Kamera und Licht
 - Vergleich der Z-Koordinaten von Punkt v_1 und Punkt v_2 in Licht-NDC
 - wenn $v_1 > v_2 \rightarrow v_1$ liegt im Schatten von v_2
- Benutzung:
 - Texture Lookup: `d = texture(shadowmap, tc).r`
 - Shadow Lookup: `float s = texture(shadowmap, tc).r`
 - aktuell rasterisiertes Fragment wird in die Shadowmap projiziert und mit dem Wert verglichen
- Probleme:
 - Shadow Acne
 - durch grobe Rasterisierung werden Punkte teilweise als „im Schatten“ angesehen, obwohl sie das nicht sind
 - gelöst durch Verrechnen der Pixel mit Offset
 - Aktivieren: `glEnable(GL_POLYGON_OFFSET_FILL)`
 - Offset: `glPolygonOffset(factor, units)`
 - Deaktivieren: `glDisable(GL_POLYGON_OFFSET_FILL)`
 - Resolution Mismatch
 - Aliasing ist Problem
 - Auflösung ist teilweise zu schlecht auf kurze, aber zu hoch auf weite Entfernungen
 - Mip-Mapping nicht gut möglich, da nach ein paar Stufen nichts mehr von der Geometrie übrig bleibt
- Interpolation
 - für die GPU muss extra spezifiziert werden, dass der sampler eine shadowmap ist
 - GL: `texture(sampler2Dshadow sampler, P, [float bias])`
 - dadurch wird der shadow lookup abgefragt
 - Interpolation in der `texture(...)` Funktion funktioniert bei Tiefenwerten nicht, weil der Durchschnitt keine sinnvolle Funktion hat
 - wenn Hardwarefiltering angeschaltet ist, wird aus 4 verschiedenen Tiefenwertberechnungen der interpolierte Wert berechnet

Formeln:

- Gamma-Korrektur: $x_{out} = \sqrt[y]{x_{in}}$
- lerp: $p_z = (1 - t) * a_z + t * b_z = a_z + t * (b_z - a_z)$
 - $t_{AC}(P) = \frac{P_y - A_y}{C_y - A_y}$
- Baryzentrische Koordinaten: $p = a + \beta * (b - a) + \gamma * (c - a)$
- renormalisieren: $n' = (A^{-1})^T * n$
- near distance n, aspect ratio a, field of view θ
 - $w = a * n * \tan \frac{\theta}{2} = r = l$
 - $h = n * \tan \frac{\theta}{2} = b = t$
 - $a = \frac{w}{h}$
- z-Koordinate im NDC: $z' = -\frac{n+f}{n-f} - \frac{2*f*n}{z*(n-f)}$
- Phong Lighting:
 - $L_{amb} = k_{amb} * i_{amb}$
 - $L_{diff} = k_{diff} * i_{in} * \cos \theta = k_{diff} * i_{in} * \langle n|l \rangle^+$
 - $L_{spec} = k_{spec} * i_{in} * \cos^{n_s} \phi$ $\cos \phi = \langle r|v \rangle$ $r = 2 * n * \langle n|l \rangle - l$
 - bei N Lichtquellen: $L = k_{amb} i_{amb} + \sum_{i=1}^N i_{in,i} (k_{diff} * \langle n|l_i \rangle^+ + k_{spec} * (\langle v|r_i \rangle^+)^{n_{s,i}})$

$$\{\Delta_{local}\} \xrightarrow{M} \{\Delta_{world}\} \xrightarrow{V} \{\Delta_{eye}\} \xrightarrow{P} \{\Delta_{clip}\} \xrightarrow{\text{dehomogenisieren}} \{\Delta_{NDC}\} \xrightarrow{W} \{\Delta_{viewport}\} \xrightarrow{\text{rasterization}} \llbracket \square \rrbracket$$

OpenGL Shading Language (GLSL)

- die `main()`-Funktion wird jedes Mal, wenn der Shader aufgerufen wird, ausgeführt
- Versionsspezifizierung `#version 130`
- Spezifiziert über Main-Funktion
 - Input **in** vec4 local_vertex
 - Output **out** vec4 out_color
 - Daten, die unabhängig vom Punkt sind **uniform** mat4 proj
- main-Funktion `void main () {...}`
- implizite output-Variable für Punkt `gl_Position`

Beispiel Phong Shading mit point-light:

```
// Vertex Shader Phong Shading mit Phong Lighting
in vec3 vert_pos; // vertex position
in vec3 norm; // fragment normal

uniform mat4 P; // Projection Matrix
uniform mat4 V; // Viewing Matrix
uniform mat4 M; // Model Matrix
uniform mat4 M_normal; // Model Matrix for normal, inverted model matrix

out vec4 pos_ws; // World Space position
out vec3 norm_ws; // World Space normal

int main() {
    pos_ws = M * vec4(vert_pos, 1.0); // position in World Space

    norm_ws = normalize(M_normal * vec4(norm, 1.0)).xyz; // normal in World Space

    gl_Position = P * V * pos_ws; // point position in clip space
}
```

```
// Fragment Shader Phong Shading mit Phong Lighting
in vec3 pos_ws; // position in world space
in vec3 norm_ws; // fragment normal in world space

uniform vec3 pointlight_pos; // position of point light
uniform vec3 cam_pos; // position of cam
// color & intensity for diffuse lighting
uniform float k_diff;
uniform float i_diff;
// color & intensity for specular lighting
uniform float k_spec;
uniform float i_spec;
uniform float n_s; // shininess exponent

out float color;

int main() {
    // diffuse lighting
    vec3 n = normalize(norm_ws); // normalize normal
    vec3 l = normalize(pointlight_pos - pos_ws); // normalize pointlight vector to point -
-> light vector
    float diff = k_diff * i_diff * max(dot(n, l), 0); // diffuse lighting

    // specular lighting
    vec3 v = normalize(cam_pos - pos_ws); //normalized view-vector
    vec3 r = 2 * n * dot(n, l) - l; // normalized r-vector ( $r = 2*n*\langle n|l \rangle - l$ )
    float spec = k_spec * i_spec * pow(dot(r, v), n_s); // specular lighting

    color = diff + spec; // color = amb + diff + spec
}
```